

## บทที่ 2

### ตรวจเอกสาร

ไซมาโทสแตติน (somatostatin, SRIF) หรือ growth hormone-inhibiting hormone เป็นเปปไทด์荷尔โมน มีกรดอะมิโน 14 ตัวเป็นองค์ประกอบ (S-14) มีมวลโมเลกุล 1,637.9 ดาลตัน (ภาพที่ 1) ไซมาโทสแตตินยังมีผลไปยับยั้งการหลั่งสารในระบบต่อมไร้ท่อ (endocrine system) ระบบย่อยอาหารและการทำหน้าที่ของระบบประสาท. ในสัตว์กระเพาะเดี่ยว SRIF มีผลไปยับยั้ง growth hormone (GH) หรือ somatotropic hormone (STH) และ thyroid stimulating hormone (TSH) อินซูลิน (insulin) และ กลูคากอน (glucagon) (Bass *et al.*, 1987) เซลล์ที่สังเคราะห์ไซมาโทสแตตินอยู่ใน periventricular nucleus เหนือ optic chiasm ส่วนปลายประสาทอยู่ทั่วไปในรอบนอกของมีเดียนเอมิเนนส์

ไซมาโทสแตติน ที่พบในสมองส่วนใหญ่เป็นชนิด S-14 ส่วนที่พบในระบบย่อยอาหาร เป็นชนิดที่มีกรดอะมิโน 28 ตัว (S-28) สำหรับชนิดที่พบในสมองทำหน้าที่เป็นหอร์โมนจากระบบประสาท (neurohormone) ที่แท้จริงคือสังเคราะห์ในเซลล์ประสาทแล้วถูกหลั่งเข้าสู่กระแสเลือดใน มีเดียนเอมิเนนส์เพื่อไปมีผลยับยั้งเซลล์ที่หลัง STH ในต่อมใต้ส่องส่วนหน้า ส่วน S-28 ที่พบในลำไส้หรือตับอ่อน นักทำหน้าที่ควบคุมการทำงานของเซลล์ที่อยู่ใกล้เคียงหรือพาราไครน์ (paracrine) มากกว่า คือมีผลต่อเซลล์ข้างเคียง และมีผลแบบออโตไครน์ต่อเซลล์ที่หลังตัวเองอีกด้วย เนื่องจากไซมาโทสแตตินมีอยู่หลายแหล่งในร่างกายจึงมีหน้าที่ต่างๆ กันแล้วแต่ออกฤทธิ์ที่ระบบไหน ดังตารางที่ 1 จะเห็นได้ว่าไซมาโทสแตตินมีผลเป็นแบบยับยั้งไม่ว่าว่าที่อยู่จะเป็นอย่างไร

การสังเคราะห์ไซมาโทสแตติน เริ่มต้นจากพรีโพร์ไซมาโทสแตติน (preprosomatostatin) ซึ่งประกอบด้วยกรดอะมิโน 116 หน่วย โดยมีโมเลกุลของไซมาโทสแตติน อยู่ทางปลายสุดด้านคาร์บอคซิล (carboxyl terminal) ของส่วนที่เรียกว่าพรีเจี้ยน (pre-region) โดยจากพรีโพร์ไซมาโทสแตติน ถูกสังเคราะห์ในอีนโดพลาสมิกเรติคูลัม (endoplasmic reticulum) ของเซลล์ประสาท และ อ็พทีเรียลเซลล์ (epithelial cells)

การควบคุมการหลั่งไซมาโทสแตตินจากไอกีโอชาตามัส Sheppard *et al.* (1979) พบร่วมกับ ซัปstanท์-พี (substance P) และนิวโรเทนซิน (neurotensin) สูงขึ้นในหนูตัวใหญ่ (rat) จะมีการหลั่งไซมาโทสแตตินจากไอกีโอชาตามัสสูงขึ้น และ STH ลดลง Abe *et al.* (1978) พบร่วมกับการหลั่ง กลูคากอน (glucagon) เข้าเด่นเลือดดำเนินหนูตัวใหญ่ ทำให้ระดับของไซมาโทสแตตินในพลาสม่าสูงขึ้น Iversen *et al.* (1978), Patel *et al.* (1978) พบร่วมกับในหนูตัวใหญ่ระดับของ  $K^+$  ที่สูงขึ้นมีผลทำให้

การหลั่งโซมาโตอสแตดินจาก neurohypophysis และ stalk median eminence สูงขึ้น แต่ถ้าปราศจาก  $\text{Ca}^{2+}$  ระดับของ  $\text{K}^+$  ที่สูงก็จะไม่มีผลต่อการหลั่งโซมาโตอสแตดิน

### ตารางที่ 1. ฤทธิ์ของโซมาโตอสแตดินต่อระบบหอร์โมน และ exocrine secretions

Endocrine	Nonendocrine
ขับยั้งการหลั่ง	ขับยั้งการหลั่ง
STH	gastric acid secretion
TSH	gastric emptying rate
ACTH	pancreatic exocrine function
	Volume, electrolyte, and enzyme content
	Gallbladder contraction
Gastrin	intestinal motility
CCK	intestinal absorption of nutrients
Secretin	splanchnic blood flow
VIP	liver metabolism
GIP	renal water reabsorption
Insulin, glucagon, GHRH	activity of some CNS neurons

ที่มา: อรวรรณ (2537)

### ผลของโซมาโตอสแตดินกับ STH

จากตารางที่ 1 และภาพที่ 2 จะเห็นได้ว่าโซมาโตอสแตดินมีผลโดยตรงไปขับยั้งการหลั่ง STH จากต่อม pituitary gland โดย Makoto *et al.* (1988) ได้ศึกษาผลของโซมาโตอสแตดินในหนูพันธุ์ Wistar ตัวผู้โดยการเพาะเลี้ยง anterior pituitary ร่วมกับโซมาโตอสแตดินพบว่าการหลั่ง STH น้อยกว่ากลุ่มที่เพาะเลี้ยงร่วมกับ GRF และจากการทดลองของ Brazeau *et al.* (1973) พบร้าซีดโซมาโตอสแตดิน 10 ไมโครกรัมให้หนูตัวโตทำให้ระดับของ STH ในพลาสม่าลดลง และ Turner and Tennenbaum (1995) ได้ฉีดโซมาโตอสแตดิน 25 และ 50 ไมโครกรัมให้หนูพันธุ์ Sprague-Dawley พบร้าระดับ STH ในพลาสม่าน้อยกว่ากลุ่มควบคุม

## ผลของโซมาโทสเตตตินในด้านอื่น

โซมาโทสเตตตินมีผลต่อระบบต่างๆ ในร่างกายหลายระบบ ดังรายงานการศึกษาของ Bryce *et al.* (1975) โดยการฉีดโซมาโทสเตตติน 1 มิลลิกรัมต่อน้ำหนักตัวให้แก่ตัวผู้ชายพบว่า STH อินซูลิน ภูมิคุ้มกัน และภูมิคุ้มกันในพลาสม่าลดลง และจากการทดลองของ Davis (1975) ได้ฉีดโซมาโทสเตตติน 250 ไมโครกรัม ให้แก่ตัวเมียพบว่า ระดับของ STH โปรแลคติน (prolactin) ไทรอยด์สติมูเลตติงהור์โมน (thyroid stimulating hormone) ในพลาสม่าลดลง

### Somatotrophic hormone (STH)

STH สร้างจากเซลล์ต่อมใต้สมองส่วนหน้า (pars distalis) มีชื่อเรียกอีกชื่อหนึ่งว่าโซมาโทโทรปิน (somatotropin หรือ somatotropic hormone, STH) เดิมมีการสกัดชอร์โมนจากต่อมใต้สมองคนตายใหม่ ๆ นารักษาผู้ป่วยที่ขาด STH แต่ปัจจุบันสามารถสังเคราะห์ STH จากวิธีการ recombinant DNA สามารถนำมาใช้ในทางคลินิกได้

STH เป็นเปปไทด์ มีน้ำหนักโมเลกุล 21,500 Dalton ประกอบด้วย กรดอะมิโน 191 ตัว ในสารสกัดจากต่อมใต้สมองคน พบ STH ที่มีกรดอะมิโนน้อยกว่า น้ำหนักเฉลี่ยของ STH ในเดือนนานประมาณ 20-50 นาที การหลั่ง STH ลดลงตามวัย ในช่วงวัยหนุ่มสาวการหลั่ง STH ลดลงตามวัย ในช่วงวัยหนุ่มสาวการหลั่ง STH มีค่าประมาณ 550 ไมโครกรัม/วัน แต่เมื่อวัยกลางคนลดลงเหลือประมาณ 200 ไมโครกรัม/วันการควบคุมการหลั่ง STH เกิดขึ้นตลอดวันเป็นการหลั่งพื้นฐาน (basal secretion) ปริมาณการหลั่ง STH เพิ่มขึ้นเป็นร้อยละ 70 ของปริมาณการหลั่งชอร์โมนทั้งวันเมื่อเวลา 30-60 นาที หลังการหลับ (ขั้น 3 หรือขั้น 4) ลักษณะการหลั่งเป็น diurnal rhythm เช่นเดียวกับการหลั่งโปรแลคติน ระดับ STH ในพลาสม่าหากแรกเกิดสูง 180 นาโนกรัม/มิลลิลิตร แล้วลดลงภายใน 2-3 สัปดาห์ต่อมา อัตราการหลั่ง STH เพิ่มขึ้นสูงเมื่อเข้าสู่วัยรุ่นโดยสูงกว่าระยะก่อนเข้าสู่วัยรุ่น 7 เท่า ปัจจัยสำคัญที่ควบคุมการหลั่ง STH คือ โซมาโทสเตตตินและเจ้อาร์เอช (GRH, growth hormone stimulating hormone) ที่สร้างจากไอโปทาเลนัส (รูปที่ 2) นอกจากนี้มีปัจจัยอื่นมีผลต่อการหลั่ง STH (ตารางที่ 2) สารออกฤทธิ์คล้ายแคนธีโคลามีน (cathecolamine) ที่ขับกับตัวรับแอ็อดฟ่า คือ clonidine มักถูกนำมาใช้กระตุนให้ต่อมใต้สมองหลั่ง STH

## ผลทางสรีรวิทยาของ STH

### STH ต่อการเจริญเติบโต

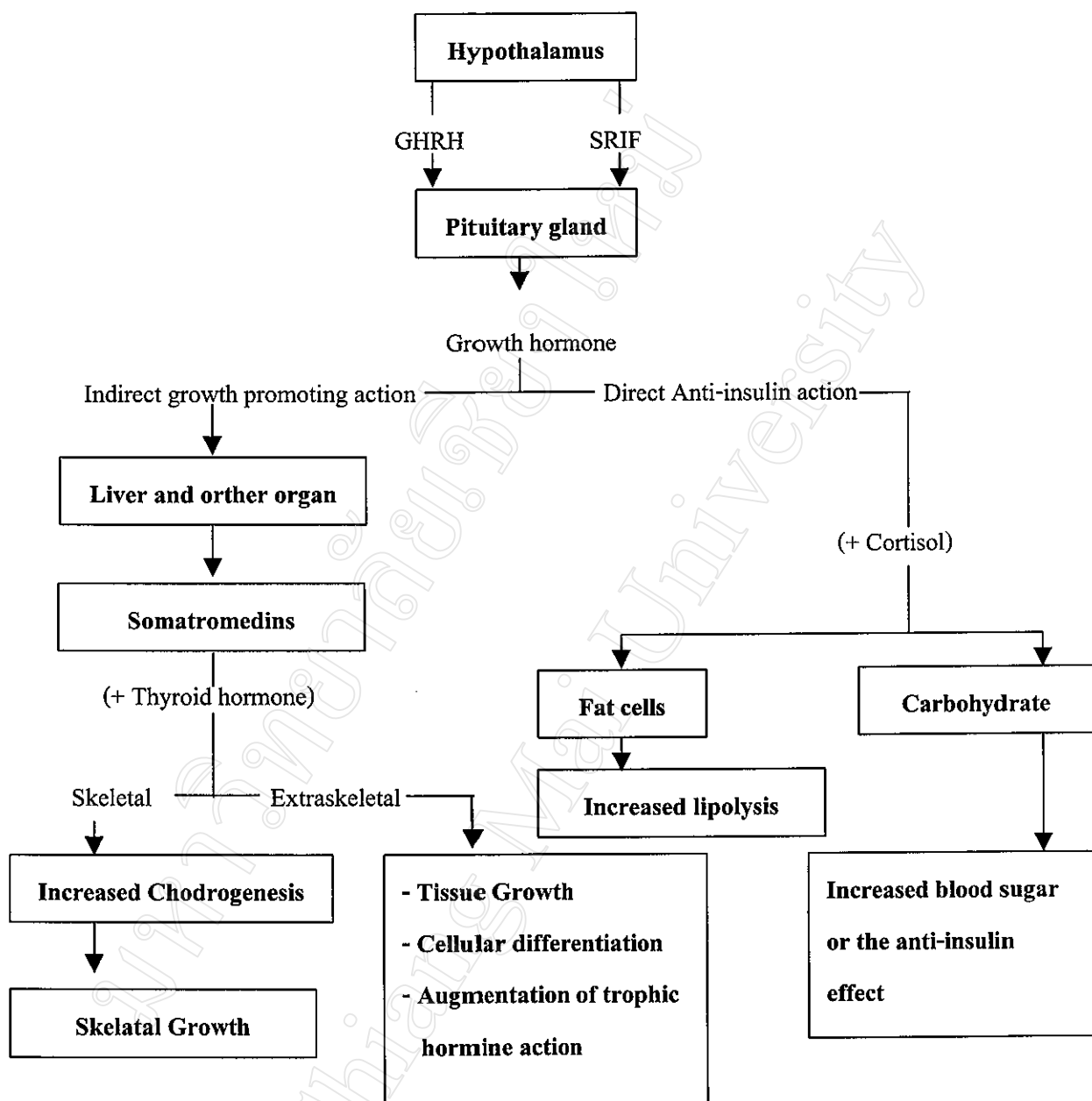
STH มีผลเด่นในการกระตุ้นการเติบโตหลังการคลอด การออกฤทธิ์กระตุ้นการเติบโตโดย เนพะที่กระดูกต้องอาศัยตัวกลาง (mediator) คือ โซมาโตเมดินซี (somatomedin C) หรือที่เรียกอีก ชื่อว่า ไอจีเอฟ-1 (IGF-I)

ตารางที่ 2. แสดงปัจจัยที่มีผลต่อการหลัง somatotropic hormone

ปัจจัยที่เกี่ยวกับ	ผลกระทบ	ผลลัพธ์
ระบบประสาท (Neurogenic)	การหลับขึ้น 3, 4 ความเครียด $\alpha$ adrenergic agonist $\beta$ adrenergic antagonist Acetylcholine agonist Dopamine agonist	การหลับขึ้น REM* ผลกระบวนการทางอารมณ์ $\alpha$ adrenergic antagonist $\beta$ adrenergic agonist Acetylcholine antagonist
Metabolism	การลดระดับกลูโคสในเลือด การลดอาหาร การลดระดับกรดไขมันในเลือด	การเพิ่มระดับกลูโคสในเลือด โรคอ้วน (Obesity) การเพิ่มระดับกรดไขมันใน เลือด
ฮอร์โมน	ภาวะเม้าหวานที่ควบคุมไม่ได้ GRH การลดระดับ IGF-I Estrogen Glucagon AVP (arginine vasopresin)	SRIF การเพิ่มระดับ IGF-I ต่อมไทรอยด์ทำงานน้อย การเพิ่มระดับ cortisol

ที่มา: อรุณรัตน (2537)

\* Rapid Eye Movement



ภาพที่ 2. แผนภาพผลทางสรีรวิทยาของ STH ผลกระทบด้านการเติบโตจัดเป็นผลทางอ้อม และผลต่อเมม ตามอธิบายที่เป็นผลทางตรง (อรุณรัตน์, 2537).

กล่าวมาแล้วอกจากนี้การออกฤทธิ์ของ STH ยังต้องการ permissive effect จากไตรอยด์ฮอร์โมน ด้วย ไอจีเอฟ-1 มีลำดับกรดอะมิโนเหมือนกับ โปรอินซูลิน จึงสามารถจับกับตัวรับอินซูลินที่เซลล์ เมมเบรนได้ (เกิด crossover) และอินซูลินเองก็จับกับตัวรับไอจีเอฟ-1 ได้เช่นกัน เซลล์ร่างกายเด็กมีความไวต่อการตอบสนองฤทธิ์ของ ไอจีเอฟ-1 มากกว่าเซลล์ผู้ใหญ่ ในเด็กที่ต่อมใต้สมองทำงานลดลง ระดับ ไอจีเอฟเพิ่มขึ้นหลังการให้ STH 6-8 ชั่วโมง และเพิ่มขึ้นไปได้นาน 16-28 ชั่วโมงต่อมา

Holder *et al.* (1980) พบว่าการฉีด bovine STH ให้แก่หนู ปริมาณ 0.1 มิลลิลิตร ทุกวันเป็นเวลา 3 วันทำให้น้ำหนักตัวเพิ่มมากขึ้น และมีการนำ  $\text{SO}_4^{2-}$  เข้ากระดูกอ่อน (cartilage) มากขึ้น เพื่อนำไปเป็นโครงสร้างของกระดูก

Chung *et al.* (1985) ได้ฉีด porcine STH ให้แก่สุกรเพศผู้ แล้วพบว่าอัตราการเจริญเติบโตเพิ่มขึ้น 10 เท่า เช่นเดียวกับการใช้อาหารดีจีน 4 เท่า เช่นเดียวกับการเจริญของกระดูกอ่อน (cartilage) และถ้ามีเนื้อมากขึ้น

### ผลของเพศต่อการหลั่ง STH และการเจริญเติบโต

โดยทั่วไปพบว่าอัตราการเจริญเติบโตของเพศผู้จะสูงกว่าเพศเมีย ทั้งน้ำหนักตัวและรูปร่าง ซึ่งได้มีการศึกษาของ Painsion and Tannenbaum (1991) โดยฉีด GRF ปริมาณ 1 ไมโครกรัมต่อน้ำหนักตัวให้หนูพันธุ์ Sprague dawley พบว่าหนูเพศผู้ตอบสนองต่อ GRF ดีกว่าเพศเมีย จากงานทดลองของ Birge *et al.* (1967) ได้ทดลองในหนูพันธุ์ Sprague dawley พบว่าหนูตัวผู้ที่โคนตัดอัณฑะมีน้ำหนักน้อยกว่าหนูกลุ่มที่ไม่โคนตัดอัณฑะ แต่ในหนูตัวเมียที่โคนตัดคลูกมีน้ำหนักเพิ่มขึ้นเมื่อเทียบกับกลับหนูกลุ่มที่ไม่โคนตัดคลูก หนูตัวผู้ที่โคนตัดอัณฑะเมื่อได้รับการฉีดเอสโตรเจนมีน้ำหนักน้อยกว่ากลุ่มที่โคนตัดอัณฑะแต่ไม่ได้รับเอสโตรเจน แต่เมื่อได้รับการฉีดเทสโทสเตอโรนพบว่าน้ำหนักเพิ่มขึ้น และพบว่าหนูที่ได้รับเอสโตรเจนมี STH น้อยกว่ากลุ่มที่ไม่ได้รับ และหนูตัวเมียที่โคนตัดคลูกมี STH หลั่งเพิ่มมากขึ้น และจากงานทดลองของ Burek and Frohman (1970) ได้ศึกษาการหลั่ง STH จาก pituitary gland *in vitro* พบว่าหนูตัวใหญ่เพศผู้มีการหลั่ง STH มากกว่าเพศเมีย และจากงานทดลองของ Frantz and Rabkin (1965) ได้ทำการศึกษาในผู้หญิงพบว่าในวันที่มีการตกไข่ (ovulation) ระดับของ STH ลดลง

### ผลของ STH ต่อการเจริญของกระดูก

การกระตุ้นการเจริญเติบโตของกระดูกโดย STH นั้น อาศัยตัวกลางคือ IGF-I (insulin-like growth factor-I) ที่สร้างจากตับและเซลล์กระดูกอ่อนเอง เพื่อเร่งการสร้างคอลลาเจน (collagen) ให้เป็น bone matrix ในกระดูกแข็ง และเร่งการสร้าง epiphyseal chondrocytes สำหรับการเจริญของ

กระดูกอ่อนที่ปลายกระดูกยาว (epiphysial plate) ส่วน STH นั้นจะมีฤทธิ์ทางตรงไปกระตุ้นการเจริญของ longitudinal bone โดยกระตุ้นการเปลี่ยนแปลงของ epiphyseal growth plate precursor cells และฤทธิ์ทางอ้อมจะไปเพิ่มการตอบสนองต่อ IGF-I และเพิ่มปริมาณของ IGF-I เพื่อกระตุ้นการขยายตัวและการเปลี่ยนแปลงของเซลล์ chondrocyte (Olle *et al.*, 1987) ดังนั้นการวัดการเจริญของกระดูกอ่อนที่ปลายกระดูกยาว (tibia test) จึงเป็นการวัดผลของ STH ทางตรวจวินิจฉัย (Ailabouni *et al.*, 1966)

Schally *et al.* (1968) พบร่วมกับ porcine growth hormone releasing factor (pGRF) แล้วสุกรพบว่ามีการหลั่งของ STH สูงขึ้น และมีผลทำให้ความยาวของกระดูกอ่อนที่ปลายกระดูกยาวเพิ่มมากขึ้น

### ผลของ STH ต่อปริมาณไขมัน

จากภาพที่ 2 จะเห็นได้ว่าฤทธิ์ทางตรงของ STH ทำให้เกิดกระบวนการย่อยสลายไขมัน (lipolysis) ในร่างกายเพิ่มสูงขึ้น ดังนั้นจากการทดลองของ Smith and Kasson (1990) ได้ทำการฉีด recombinant porcine somatotropin (rpSt) ให้กับสุกรลูกพะโลบว่าสุกรมีการเจริญเติบโตอย่างรวดเร็วเมื่อเปรียบเทียบกับกลุ่มควบคุม ( $p<0.05$ ) แต่การเจริญลดลงเมื่อหยุดฉีด rpSt ไปแล้ว 10 วัน ( $P<0.05$ ) ซากของสุกรที่ได้รับการฉีด rpSt มีเนื้อแดงมากกว่ากลุ่มควบคุม ( $P<0.05$ ) แต่จะมีการสะสมไขมันเพิ่มขึ้นเมื่อหยุดการฉีด rpSt แล้ว 10 วัน ( $p<0.05$ ) และพบว่าสุกรที่ได้รับ rpSt มีระดับ IGF-I สูงขึ้นด้วย

Harris *et al.* (1993) ได้ทำการฉีด porcine somatotropin (pST) ให้สุกรน้ำหนักประมาณ 77 กิโลกรัม พบร่วมกับการเปลี่ยนกลูโคสไปเป็นไขมันลดลงเป็น 86 เปอร์เซ็นต์ การเปลี่ยนกลูโคสเป็นคาร์บอนไดออกไซด์เหลือเพียง 79 เปอร์เซ็นต์ และอัตราการสังเคราะห์ไขมันมีเพียง 79 เปอร์เซ็นต์ Lee *et al.* (1994) ได้ทดลองในสุกรตัวผู้และตัวเมีย โดยได้รับการฉีด pST 3 มิลลิกรัม/วัน พบร่วมกับการลดลง blood urea nitrogen ลดลง ระดับของอินซูลิน และกลูโคสในพลาสม่าสูงขึ้น โดยผลการทดลองที่ได้คล้ายกับงานของ Evock-Clover *et al.* (1992)

Lee *et al.* (2000) ได้ทดลองในสุกรตัวผู้ โดยฉีด pST 4 มิลลิกรัมต่อวัน เป็นเวลา 4 สัปดาห์ พบร่วมกับการลดลง 43 เปอร์เซ็นต์ ประสิทธิภาพการใช้อาหารดีขึ้น 27 เปอร์เซ็นต์ และพบว่าการสังเคราะห์ไขมัน (lipogenesis) ลดลง 68 เปอร์เซ็นต์ ในวันที่ 4 ของการทดลอง และลดลง 69 เปอร์เซ็นต์ ในวันที่ 7 ของการทดลอง

Azain *et al.* (1992) ทำการฉีด pST 2 มิลลิกรัมต่อวันให้สุกร พบร่วมกับการลดลงในสุกรตัวเมียลดลงมากกว่าสุกรตัวผู้ และ blood urea nitrogen ในสุกรเพศเมียก็มีน้อยกว่าเพศผู้ และ Etherton

*et al.* (1986) ได้ฉีด human GRF ให้แก่สุกรแล้วพบว่า ระดับของ STH ในพลาสม่าสูงขึ้น ทำให้ปริมาณไขมันสันหลังลดลง มวลของกล้ามเนื้อเพิ่มมากขึ้น คุณภาพซากดีขึ้น

### ผลการกระตุ้นภูมิคุ้มกันต่อโชมาโทสแตเดินต่อ STH

มีงานที่กระตุ้นการผลิตแอนติบอดีต่อ โชมาโทสแตเดินในร่างกายสัตว์โดย Arimura *et al.* (1975) เนื่องจากโชมาโทสแตเดินเป็นเพ็บไทด์ขนาดเล็ก (ภาพที่ 1) ไม่มีฤทธิ์กระตุ้นภูมิคุ้มกัน จึงต้องทำให้มีขนาดใหญ่ขึ้น โดยการเชื่อม (conjugate) กับโปรตีนขนาดใหญ่ เช่น อัลฟ่าโกลบูลิน ( $\alpha$ -globulin) จากชีรัมของคน (Human serum  $\alpha$ -globulin, HSG) จึงจะสามารถกระตุ้นการสร้างแอนติบอดีต่อ โชมาโทสแตเดิน (anti-SRIF) ในกระต่ายได้ การวัดผลการทำงานของ anti-SRIF อาจทำได้โดยการสกัด anti-SRIF จากสัตว์ชนิดเดียวกันหรือต่างชนิดเดียวก็ได้ เช่นเดียวกับการกระตุ้นการสร้าง PI หรือใช้แอนติเจนที่เตรียมเช่นเดียวกับงานของ Arimura *et al.* (1975) ฉีดกระตุ้นการสร้าง anti-SRIF ในสัตว์โดยตรง วิธีนี้เรียกว่า (active immunization, AI) ในการทำ PI ต่อ SRIF ในไก่เลี้กชอร์นเพศผู้อายุ 6 สัปดาห์ ทำให้ระดับฮอร์โมน STH เพิ่มขึ้นอย่างมีนัยสำคัญ ( $P < .05$ ) (Harvey and Hall, 1987; Spencer *et al.*, 1986) และทำให้ระดับน้ำตาลกลูโคส (glucose), กรดไขมัน (fatty acid), และกรดอะมิโน (amino acid) ในเลือดเพิ่มขึ้นอย่างมีนัยสำคัญ ( $P < 0.05$ ) (Hall *et al.*, 1986) นอกจากนี้มีรายงานการทำ AI ต่อต้านฮอร์โมน โชมาโท- sulfate ในไก่กระทงสายพันธุ์ Ross-1 เมื่ออายุ 8, 22, และ 36 วัน ทำให้น้ำหนักตัวไก่เพิ่มขึ้น 15 % ( $p < 0.05$ ) (Spencer *et al.*, 1986) ส่วนการทดลองในแกะ การทำ AI ต่อต้านฮอร์โมน โชมาโทสแตเดินทำให้ระดับฮอร์โมน STH ในเลือดเพิ่มขึ้น (Varner *et al.*, 1980; Spencer *et al.*, 1983) และน้ำหนักตัวของสัตว์เพิ่มขึ้น (Spencer *et al.*, 1983; Chaplin *et al.*, 1984; Spencer *et al.*, 1986; Larrveld *et al.*, 1986) ดังนั้นการที่จะปรับปรุงไก่พื้นเมืองให้มีอัตราการเจริญเติบโตดีขึ้นอาจทำได้โดยการกระตุ้นภูมิคุ้มกันต้านฮอร์โมน โชมาโทสแตเดิน ซึ่งจะทำให้ไก่พื้นเมืองมีการหลัง STH เพื่อมากระตุ้นการเจริญเติบโตได้อย่างต่อเนื่อง โดยปราศจากการยับยั้งจากฮอร์โมน โชมาโทสแตเดิน

Lam *et al.* (1986) ได้ใช้ไก่พันธุ์เนื้อถูกพสนเพศผู้ ให้ passive immunized ต่อต้าน SRIF พบว่าสามารถเพิ่มระดับของฮอร์โมน thyroxine (T4) และ tri-iodothyronine (T3) ภายใน 10 นาทีหลังฉีด ส่วน Jacovidou and Patel (1987) ได้กระตุ้นภูมิคุ้มกันต้าน SRIF ในหนูตัวโตพบว่าระดับ STH ใน พลาสม่าสูงกว่ากลุ่มควบคุม ( $40.5 \pm 3.5$  นาโนกรัม/มิลลิลิตร และ  $12.5 \pm 1.5$  นาโนกรัม/มิลลิลิตร ตามลำดับ,  $P < 0.01$ ) นอกจากนี้ Van Kessel *et al.* (1990) ได้กระตุ้นภูมิคุ้มกันต้าน SRIF ในแกะที่ตั้งท้องนาน 4 สัปดาห์ พบว่าถูกแกะจากแม่ที่ได้รับการทำภูมิคุ้มกันต้าน SRIF มีระดับ T3 ในพลาสม่ามากกว่ากลุ่มควบคุม ( $P < 0.05$ ) และมีน้ำหนักหลังคลอดสูงกว่ากลุ่มควบคุม ( $P < 0.05$ )

## กลไกการตอบสนองของระบบภูมิคุ้มกันต่อแอนติเจน

เนื่องจากโชมาโตะแตเดตินเป็นแปปไทด์ชอร์โมนที่มีขนาดเล็ก (ภาพที่ 1) โดยตามปกติแล้ว เมื่อโชมาโตะแตเดตินเข้าสู่ร่างกายของสัตว์ สัตว์จะไม่สามารถสร้างภูมิคุ้มกันขึ้นมาต่อต้านได้ โชมาโตะแตเดตินจึงไม่มีคุณสมบัติ immunogenicity คือความสามารถทางธรรมชาติที่จะชักนำให้เกิดการสร้างแอนติบอดี้ และ T lymphocyte ที่มีความจำเพาะเจาะจงกับแอนติเจน หรือเรียกได้ว่า โชมาโตะแตเดตินเป็นแฮปтен (hapten) ดังนั้นเมื่อต้องการสร้างภูมิคุ้มกันต่อโชมาโตะแตเดตินจึงจำเป็นที่จะต้องทำให้ร่างกายสามารถเห็น โชมาโตะแตเดตินเป็นแอนติเจน จึงต้องนำโชมาโตะแตเดตินมาเชื่อม (conjugated) กับสารที่มีมวลโมเลกุลขนาดใหญ่ สารแปลงปลอม โปรตีน หรือโมเลกุลพาหะ (carrier molecule) เช่น human serum albumin (HSA), bovine serum albumin (BSA), โปรตีนจากเลือดปู (Keyhole Limpets Hemocyanin, KLH)

## การเปลี่ยนคุณสมบัติของโชมาโตะแตเดตินให้เป็นแอนติเจน

Spencer and Garsen (1983) ใช้โชมาโตะแตเดติน 2 มิลลิกรัม ละลายใน 2 มิลลิลิตรของ 0.1 % ของแอมโมเนียม อัมโซ่เทรท (ammonium acetate) ค่าความเป็นกรด-ด่าง เท่ากับ 7.0 เติม 10 มิลลิกรัม ของ human serum albumin เติม 1.3 มิลลิลิตร ของ 0.02 M ภูลตราลาดีไฮด์ (glutaraldehyde) เขย่าทิ้งไว้ 5 ชั่วโมง ที่อุณหภูมิห้อง จึงทำให้โชมาโตะแตเดตินเปลี่ยนคุณสมบัติจากแฮปเพนกล้ายเป็นแอนติเจน การเปลี่ยนแปลงดังกล่าวทำให้เกิดการเปลี่ยนแฮปтенให้มีคุณสมบัติของ immunogenicity คือเมื่อแฮปтенมีมวลโมเลกุลมากกว่า 10,000 Dalton จะเปลี่ยนคุณสมบัติทาง immunogenicity ได้ (สุทธิพันธ์ และคณะ, 2530)

การทำให้โชมาโตะแตเดตินเปลี่ยนคุณสมบัติจากแฮปเพนกล้ายเป็นแอนติเจน นอกจาก HAS แล้วสามารถที่จะเปลี่ยนโมเลกุลพาหะเป็นโปรตีนชนิดอื่นได้เช่น Magnan *et al.* (1995) ใช้ boine serum albumin เชื่อมกับโชมาโตะแตเดติน หรือ Varner, Davis and Reeves (1980) ใช้ egg albumin เชื่อมกับโชมาโตะแตเดติน

## การตอบสนองของระบบภูมิคุ้มกัน

เมื่อแฮปтенเปลี่ยนคุณสมบัติเป็นแอนติเจนแล้วเข้าสู่ในร่างกายของสัตว์ (immunization) จะเกิดการตอบสนองของระบบภูมิคุ้มกันต่อสิ่งแปลงปลอม การตอบสนองของระบบภูมิคุ้มกันนั้นเรียกว่า immune response แบ่งออกได้ 2 วิธี (Abbas *et al.*, 1994) คือวิธีการตอบสนองระบบภูมิคุ้มกันแบบไม่จำเพาะ (non-specific or native immune response) เป็นการตอบสนองแบบง่ายๆ เกิดขึ้นเมื่อได้รับสิ่งแปลงปลอมเป็นครั้งแรกหรือทำงานร่วมกับระบบภูมิคุ้มกันแบบจำเพาะ และวิธี

การตอบสนองของภูมิคุ้มกันแบบจำเพาะ (specific immune response) เกิดขึ้นเมื่อร่างกายไม่สามารถกำจัดสิ่งแปลกปลอมนั้นออกໄไปได้โดยวิธีไม่จำเพาะเจาะจง ซึ่งแบ่งการตอบสนองเป็นสองส่วนคือ humoral immunity (HMI) โดยใช้แอนติบอดีเป็นตัวกำจัดแอนติเจนแปลกปลอม มี B cells และ plasma cells เป็นผู้รับผิดชอบ และ cell mediated immunity (CMI) ตอบสนองโดยการทำหน้าที่ของ T cells เช่น Cytolytic T lymphocytes, natural killer cells และ phagocytes

การตอบสนองของระบบภูมิคุ้มกันสามารถแบ่งออกได้เป็น 3 ระยะ (Abbas *et al.*, 1994) ดังนี้ ระยะที่หนึ่ง (cognitive phase) มีการจับกันระหว่างแอนติเจนกับตัวรับที่มีความจำเพาะเจาะจงของลิมโฟซัยท์ที่เจริญเติบโต โดยที่ B lymphocytes จะปล่อยแอนติบอดีออกมานำผู้วินิจฉัยของเซลล์ และสามารถจับกับอนุภาคแปลกปลอม โพลีแซคคาไรด์ หรือไขมันในรูปที่ละลายน้ำได้ ส่วน T lymphocytes ที่มีคุณสมบัติในการยอมรับคำดับของเปปไทด์ที่สัมผัส ของแอนติเจน ที่เป็นโปรตีน และยิ่งกว่านั้น T lymphocytes ที่มีคุณสมบัติในการยอมรับและตอบสนองต่อแอนติเจนที่เป็นเปปไทด์จะไปแสดงบนผิวน้ำของเซลล์อื่นๆ ด้วย ระยะที่สอง (activation phase) เป็นลำดับของเหตุการณ์ต่อมาของการเกิดการเรนี่ยวน์ลิมโฟซัยท์ด้วยแอนติเจนที่จำเพาะเจาะจง ลิมโฟซัยท์จะมีการเปลี่ยนแปลงที่สำคัญสองประการ คือ เกิดการแบ่งตัว (proliferation) มีการขยายจำนวน ของลิมโฟซัยท์ที่จำเพาะเจาะจงต่อแอนติเจน และขยายการป้องกัน (amplification) ให้มากขึ้น และลิมโฟซัยท์จะพัฒนาจากเซลล์ที่มีหน้าที่ยอมรับ (recognition) ไปสู่เซลล์ที่มีหน้าที่กำจัดแอนติเจนจากนั้น B lymphocytes เปลี่ยนแปลงจาก antigen-recognizing B lymphocytes เป็น antibody-secreting cells และหลังแอนติบอดีเพื่อกำจัดแอนติเจนที่ละลายน้ำ T lymphocytes บางเซลล์พัฒนาเป็นเซลล์ที่กระตุ้น phagocytes เพื่อกำจัดจุลชีพที่อยู่ระหว่างเซลล์ (extracellular microbes) และ T lymphocytes บางตัวทำหน้าที่โดยตรงโดยการทำให้เซลล์แตก (lysis) เช่น ไวรัสในกระบวนการ activation ของลิมโฟซัยท์มีสัญญาณมากกระตุ้นอยู่สองชนิดคือ แอนติเจน และ helper cells ระยะสุดท้าย (effector phase) เป็นระยะที่ลิมโฟซัยท์ถูกกระตุ้นด้วยแอนติเจน ทำหน้าที่กำจัดแอนติเจนโดย effector cells การทำงานต้องมี non-lymphoid cells และกลไกการป้องกันอื่นร่วมด้วย เป็นการตอบสนองภูมิคุ้มกันแบบไม่จำเพาะเจาะจง ขบวนการ phagocytosis หรือเกิดขึ้นเมื่อพวก neutrophilic และ macrophage จะเคลื่อนตัวไปหาสิ่งแปลกปลอม แล้วประบูดติดต่อมากจะก deinigen แล้วจึงมีการย่อย ด้วยกลไกทางเคมีอย่างภายในเซลล์ แล้วจึงปล่อยสิ่งแปลกปลอมที่ถูกทำลายแล้วออกสู่นอกเซลล์ มีโปรตีนในเลือดที่เรียกว่า complement ช่วยในการทำให้เซลล์แตก และ phagocytosis ของเชื้อจุลชีพ แอนติบอดีชนิดอื่นๆ กระตุ้น mast cells ให้เกิด degranulation แล้วปล่อย mediator เพื่อต่อสู้กับการติดเชื้อและตอบสนองต่อการอักเสบอย่างเชิงพลัน T lymphocytes หลัง cytokines ซึ่งเป็นโปรตีนหรือโมนกระตุ้นขบวนการ phagokinesis และเกิดการอักเสบอย่างเชิงพลัน phagocytes,

complement, mast cells, cytokines และ leukocytes ที่ทำให้เกิดการอักเสบ ทุกตัวล้วนเป็นการตอบสนองต่อภูมิคุ้มกันแบบไม่จำเพาะต่อแอนติเจนทั้งสิ้น

### เทคนิคแอนไซม์ลิงค์อัมโนไซด์เบนท์แอลซีเอช (Enzyme-Linked Immunosorbent Assay, ELISA)

เทคนิคที่ใช้หาปริมาณสารที่มีปริมาณน้อยที่นิยมใช้กันมานาน คือ เทคนิคเรดิโออัมโนไซด์เซช (Dobson, 1983) ซึ่งอาศัยหลักการของปฏิกิริยาการจับกันของแอนติเจนกับแอนติบอดีโดยใช้ตัวติดตามปฏิกิริยาเป็นสารกัมมันตรังสี ได้แก่ ตริตีเมต ( $^3\text{H}$ ) ไอโอดีน ( $^{125}\text{I}$ ) คาร์บอน ( $^{14}\text{C}$ ) ซึ่งเป็นเทคนิคที่มีข้อดีคือ มีความแม่นยำสูงต้องสูงสามารถหาสารที่มีอยู่เป็นจำนวนน้อยได้ มีความจำเพาะเจาะจงสูง แต่มีข้อเสียคือ ผู้ปฏิบัติงานมีความเสี่ยงต่อการได้รับอันตรายจากสารกัมมันตรังสีเป็นอันตรายต่อสุขภาพ ปัญหาการคำนวณที่มีการบวกเพื่อสารกัมมันตรังสีมีข้อจำกัดในการใช้งานมาก เช่น ข้อกฎหมายในการใช้สารกัมมันตรังสี และเครื่องมือที่ใช้มีราคาแพงมากทำให้การประยุกต์ใช้ในฟาร์มเป็นไปได้ยาก ต่อมาได้มีการคิดค้นเทคนิค ELISA ขึ้นมาทดแทนเทคนิค RIA ซึ่งอาศัยหลักการในการทำปฏิกิริยาคล้ายคลึงกับเทคนิค RIA จะแตกต่างกันที่ตัวติดตามปฏิกิริยา โดยเทคนิค ELISA ใช้อ่อนไชม์เป็นตัวติดตามปฏิกิริยาแทนสารกัมมันตรังสี โดยนำแอนติเจนหรือแอนติบอดีติดบนพื้นผิวตัวกล่อง (solid-phase) ที่สามารถดูดดิบแอนติเจนหรือแอนติบอดีได้ เช่น โพลีส్泰รีน (polystyrene) โพลีไวนิล (polyvinyl) เทคนิคนี้อาศัยหลักการของปฏิกิริยาสองชนิดคือ ปฏิกิริยาของแอนติเจน แอนติบอดี และอ่อนไชม์ (enzyme) กับ สันสเตรท (substrate) โดยแอนติบอดีจะไปจับกับแอนติเจนที่เชื่อมติดกับพื้นผิวตัวกล่องจากนั้นล้างส่วนที่ไม่เกิดปฏิกิริยาระหว่างแอนติเจนกับแอนติบอดีออกไป แล้วอาศัยแอนติบอดีอีกตัวที่เชื่อมกับอ่อนไชม์ที่มีความจำเพาะต่อแอนติบอดีตัวแรกที่ใส่ลงไป เช่น แอนติบอดีจากกระต่ายที่ต้านแอนติบอดีจากไก่ (แอนติบอดีตัวแรกเปรียบเสมือนแอนติเจนเพื่อให้แอนติบอดีตัวที่สองมาจับ) หลังจากผ่านขั้นตอนการล้างส่วนที่ไม่เกี่ยวข้องกับปฏิกิริยาออกไปแล้ว ก็จะวัดการทำางานของอ่อนไชม์โดยการเติมสันสเตรทลงไป แล้วจึงนำวัดความเข้มสีที่เกิดขึ้น จะได้สัดส่วนโดยตรงกับปริมาณสารที่ต้องการหา (มณีวรรณ, 2531; Crowther, 1995; Catty, 1989)

ในปัจจุบันเทคนิค ELISA เป็นที่นิยมแพร่หลายในการวัดสารปริมาณน้อย เช่น วัดปริมาณเชื้อที่ทำให้เกิดโรคต่างๆ ได้แก่ ไวรัส แบคทีเรีย เชื้อร้า โปรโตซัว (Crowther, 1995) ใช้วัดปริมาณชอร์โมนชนิดต่างๆ เช่น ชอร์โมนโปรเจสเทอโรนในโคนมที่ตั้งท้อง (Chang, 1983; Kasson, 1993) ชอร์โมนโปรเจสเทอโรนในน้ำลาย (Tallon *et al.*, 1984) ข้อดีของเทคนิค ELISA คือ มีความปลอดภัยต่อผู้ปฏิบัติงาน มีความไวสูง ประยุกต์เวลาในการวัด อุปกรณ์ในการใช้งานมีราคาไม่แพง รวมถึง

การพัฒนาในการนำไปใช้ในรูปแบบสำเร็จรูปเพื่อนำไปประยุกต์ใช้กับการปฏิบัติงานในฟาร์มหรือนอกห้องปฏิบัติการได้เป็นอย่างดี

